

Dielektrische Eigenschaften

$$\vec{P} = \epsilon_0 \vec{\chi} \vec{E}$$

$$\vec{\epsilon} = \vec{1} + \vec{\chi}$$

kubische Kristalle: $\epsilon_1 \chi$ Skalare

$$\vec{D} = \epsilon_0 \vec{E} + \vec{P} = \epsilon_0 \epsilon \vec{E}$$

Wechselfelder: Fouriertransformierte

$$E(t) = \int_{-\infty}^{\infty} d\omega E(\omega) e^{-i\omega t}$$

$$D(\omega) = \epsilon_0 \epsilon(\omega) E(\omega)$$

Zeitabh. Feld \rightarrow Verschiebungstrom $\frac{\partial J}{\partial t}$

$$\text{rot } \tilde{\vec{H}} = \tilde{\vec{j}} + \frac{\partial \tilde{\vec{D}}}{\partial t}$$

$$\tilde{\vec{j}} = \sigma \tilde{\vec{E}} \Rightarrow \text{rot } \tilde{\vec{H}} = \sigma \tilde{\vec{E}}(\omega) - i\omega \epsilon_0 \tilde{\epsilon}(\omega) \tilde{\vec{E}}(\omega) \\ = \tilde{\sigma} \tilde{\vec{E}}(\omega)$$

$$\tilde{\sigma} = \sigma - i\omega \epsilon_0 \epsilon \quad \text{kompl. Leitfähigkeit}$$

$$\text{rot } \tilde{\vec{H}} = -i \epsilon_0 \tilde{\epsilon}(\omega) w \tilde{\vec{E}}(\omega)$$

$$\tilde{\epsilon}(\omega) = \epsilon(\omega) + i \frac{\sigma}{\epsilon_0 w} \quad \text{kompl. oiel. Fkt.}$$

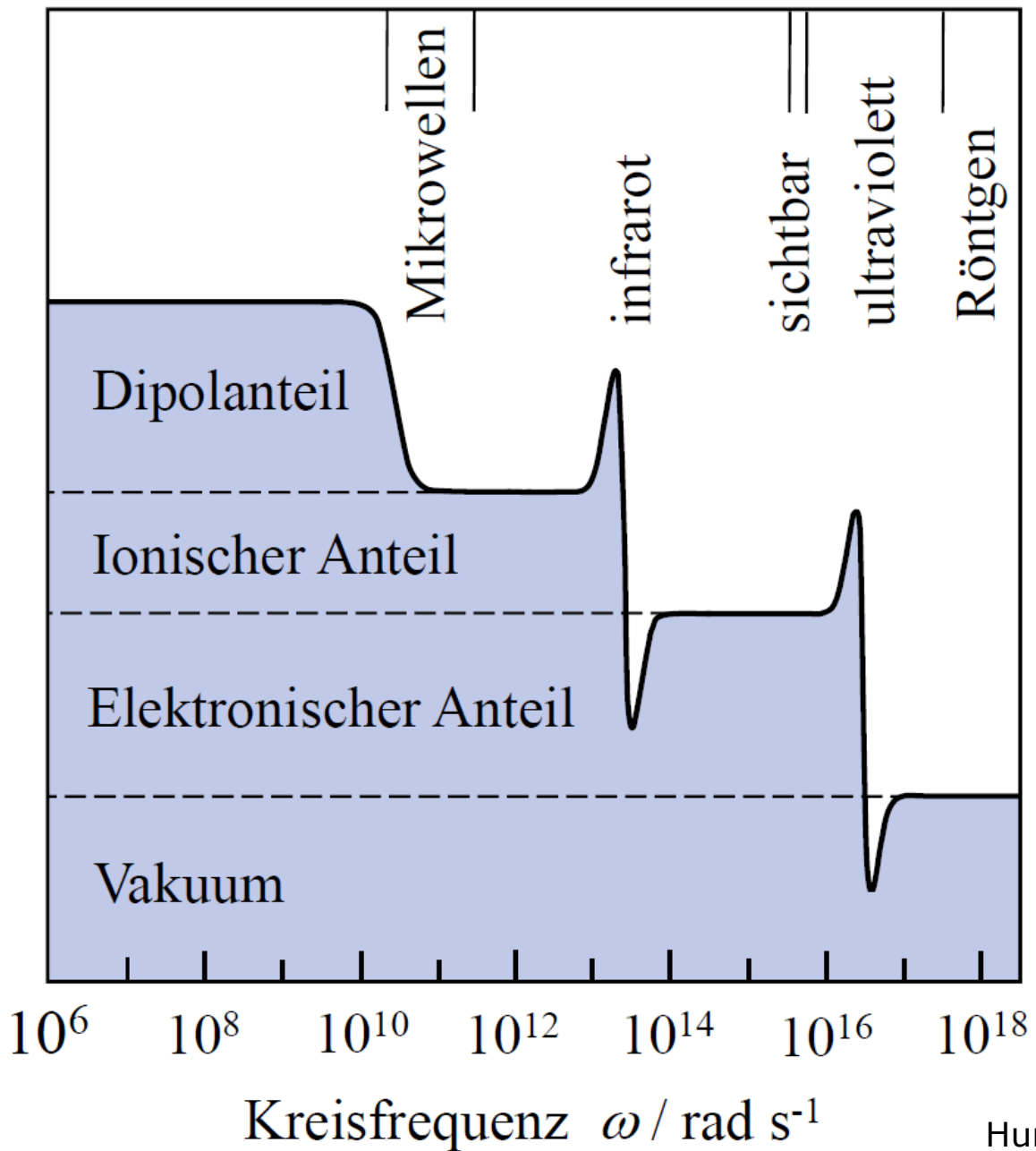
Kramers-Kronig-Relationen

$$\varepsilon = \varepsilon' + i\varepsilon''$$

$$\varepsilon'(\omega) - 1 = \frac{2}{\pi} P \int_0^{\infty} d\omega' \frac{\omega'}{\omega'^2 - \omega^2} \varepsilon''(\omega')$$

Polarisation von Hologtoren

Realteil ϵ' der dielektrischen Funktion



$\epsilon(\omega)$: polarer Kristall Übersicht

Hunklinger Bild 13.3: Schema der Frequenzabhängigkeit der Dielektrizitätskonstanten eines polaren Kristalls. Größe und Lage der einzelnen Beiträge sind festkörper-spezifisch.